

فاصله یابی خطوط انتقال نیرو با سه پایانه

محمد حسین جاویدی^۱

جواد ساده^۲

عبدالله کامیاب^۳

(۱) گروه برق، دانشکده مهندسی، دانشگاه فردوسی، برق منطقه‌ای خراسان
مشهد، ایران

واژه‌های کلیدی : الگوریتم فاصله یابی خطوط انتقال نیرو با سه پایانه

۱(مقدمه):

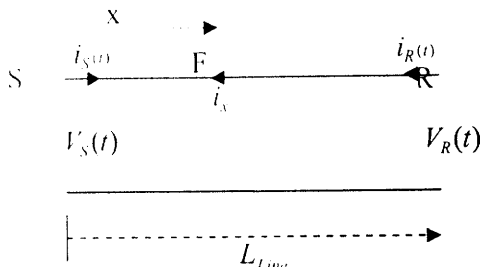
خطوط انتقال نیرو مانند همه تجهیزات دیگر سیستم قدرت در معرض انواع خطوطها قرار دارند. شایع ترین نوع خط روى خطوط انتقال نیرو اتصال کوتاه هائی هستند که به دلایل مختلف بوجود می آیند. پس از بروز اتصال کوتاه و قطع خط توسط رله های حفاظتی، مسئله به سرویس برگرداندن مجدد خط به میان می آید. به دلیل اینکه خطوط انتقال نیرو در مسیرهای طولانی گسترده شده اند، جهت تعیین محل خط در صورت استفاده از روشهای گشت زنی به زمان زیادی نیاز خواهیم داشت. لذا به کارگیری روشی و یا استفاده از دستگاههای که بتوان محل خط را با سرعت و دقت کافی تعیین نمود، ضروری به نظر میرسد. این وسائل را فاصله یابهای خط و الگوریتمهای استفاده شده در آنها را الگوریتمهای فاصله یابی خط می نامند. تاکنون الگوریتمهای زیادی برای فاصله یابی خط ارائه شده که در آنها از اطلاعات یک طرف و یا طرفین و مدلها مخالفة خط انتقال استفاده شده است. روشهای فاصله یابی خط که از اطلاعات ولتاژها و جریان های یکطرف خط انتقال استفاده می کنند، در خطوط انتقال با انشعابهای میانی کاربرد ندارد. جهت حل مسئله

چکیده:

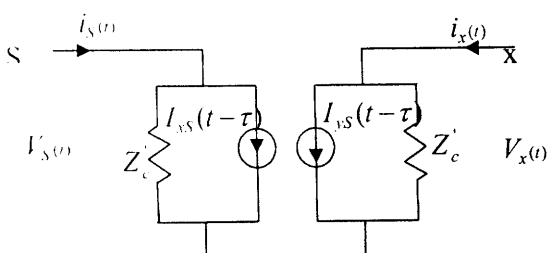
روشهای فاصله یابی خط با استفاده از ولتاژها و جریانهای یک طرف خط انتقال برای سیستمهای با سه پایانه و بیشتر کاربردی ندارد. تاکنون روشهای مختلفی جهت حل مسئله فاصله یابی خط در خطوط با چند پایانه ارائه شده که عمدتاً از مدل های فشرده و یا مدل گسترده حوزه فرانس خط انتقال استفاده شده است. در این مقاله روشی برای فاصله یابی محل خط و تعیین بخش خطدار خط انتقال با استفاده از مدل گسترده خط انتقال در حوزه زمان ارائه شده است که در آن پنجه اطلاعاتی مورد نیاز برای اجرای الگوریتم، پنجه ای کوتاهتر از نیم سیکل میباشد. در این روش اطلاعات همزمان هر سه پایانه برای اجرای الگوریتم مورد نیاز است. این روش به مقاومت خط وابسته نبوده و زاویه شروع خط، جریان بار و امپدانس منابع تاثیر کمی روی دقت آن دارد. جهت تشریح اصول روش فاصله یابی خط ابتدا خط انتقال با دو پایانه (خط انتقال معمولی) در نظر گرفته شده و سپس به شبکه های با سه پایانه تعمیم داده شده است. صحت و دقت روش پیشنهادی به کمک شبیه سازی یک سیستم قدرت ساده توسط نرم افزار EMTP تایید گردیده است.

۲) مدل گسترده خط انتقال در حوزه زمان [۶]

شکل (۱) مدل خط انتقال تکفاز با پارامترهای گسترده را نشان می‌دهد.



شکل (۱): خط انتقال با پارامترهای



شکل (۲): مدل گسترده بخش SF

در این شکل S و R پایانه‌های خط انتقال و F نقطه دلخواه از خط به فاصله X از پایانه S می‌باشند. مدل گسترده بخش SF در شکل (۲) نشان داده شده است. از شکل (۲) معادلات زیر را میتوان بدست آورد.

$$i_s(t) = \frac{1}{Z_c} V_s(t) + I_{xs}(t - \tau) \quad (1)$$

$$i_x(t) = \frac{1}{Z_c} V_x(t) + I_{ys}(t - \tau) \quad (2)$$

در معادلات فوق منابع جریان وابسته I_{xs} و I_{ys} به صورت زیر تعریف می‌شوند:

$$\begin{aligned} I_{xs}(t - \tau) &= \frac{R}{Z_c^2} [V_s(t - \tau) + Z_c i_s(t - \tau)] \\ &- \frac{Z_c}{Z_c^2} [V_x(t - \tau) + Z_c i_x(t - \tau)] \end{aligned} \quad (3)$$

فاصله‌یابی خطوط روش‌های مختلفی ارائه شده که در آنها "مدل انتقال" از مدل‌های فشرده و مدل گسترده خط انتقال در حوزه فرکانس استفاده شده است [۱-۴]. به عنوان مثال آقای A.Girgis در مرجع [۱] برای حل مسئله فاصله‌یابی خطوط انتقال با سه پایانه روشنی ارائه نموده که در آن اطلاعات همزمان و غیر همزمان پایانه‌ها بکار گرفته شده است. در مرجع [۲] جهت حل مسئله فاصله‌یابی خطوط دو مداره با سه پایانه، اختلاف جریان‌های متناظر دو مدار به عنوان داده‌های ورودی استفاده شده است. در دو روش اخیر از مدل فشرده خط انتقال استفاده شده است. آقای Ying-Hong Lin [۳] با استفاده از اطلاعات دو پایانه و با فرض تولید در پایانه سوم واستفاده از مدل گسترده خط انتقال در حوزه فرکانس روشنی را برای فاصله‌یابی خطوط انتقال با سه پایانه پیشنهاد داده است. همچنین در مرجع [۴] با استفاده از اطلاعات هر سه پایانه و مدل گسترده حوزه فرکانس، روش ارائه شده در مرجع [۵] را جهت فاصله‌یابی خطوط به خطوط انتقال با سه پایانه تعمیم داده است. الگوریتم‌هایی که در آنها جهت فاصله‌یابی خطوط انتقال در خطوط انتقال نیرو از مدل فشرده خط انتقال استفاده کرده اند در خطوط متوسط و بلند دارای انشعاب به دلیل صرف نظر از اثر خازنی خط دارای دقت کافی نمی‌باشند. همچنین در روشهایی که از مدل گسترده خط انتقال در حوزه فرکانس استفاده می‌کنند به دلیل نیاز به محاسبه فازورهای ولتاژ و جریان که احتمال خطوط در محاسبه آن وجود دارد باعث بروز خطاهای در تعیین فاصله تا محل خطوط انتقال نیرو می‌شود. در این مقاله با استفاده از مدل گسترده خط انتقال در حوزه زمان روشنی برای فاصله‌یابی خطوط انتقال با سه پایانه ارائه شده است. این روش از اطلاعات ولتاژها و جریان‌های همزمان هر سه پایانه که توسط ماهواره و GPS محقق می‌شود به عنوان داده‌های ورودی استفاده می‌کند. از مشخصات دیگر الگوریتم پیشنهادی پنجه اطلاعاتی مورد نیاز آن است که کمتر از نیم سیکل می‌باشد و به دلیل استفاده از مدل گسترده خط انتقال در حوزه زمان دقت الگوریتم بیشتر می‌شود.

$$F(V_s, i_s, V_r, i_r, t, \tau) = 0 \quad (V)$$

تابع F به صورت زیر تعریف می‌شود:

$$\begin{aligned} F = & \left(Z_c^2 [V_s(t+\tau) - Z_c i_s(t+\tau)] \right. \\ & + Z_c^2 [V_s(t-\tau) + Z_c i_s(t-\tau)] \\ & - Z_c R / 4 [R/2/Z_c V_s(t) + 2Z_c i_s(t)] \\ & - \left(Z_{rc}^2 [V_r(t+T-\tau) - Z_{rc} i_r(t+T-\tau)] \right. \\ & + Z_{rc}^2 [V_r(t-T+\tau) + Z_{rc} i_r(t-T+\tau)] \\ & \left. \left. - Z_{rc} R_r / 4 [R_r/2/Z_{rc} V_r(t) + 2Z_{rc} i_r(t)] \right) \right) / 2Z_c^2 \quad (A) \end{aligned}$$

فاصله‌یابی محل خط (X) در معادله (A) نه تنها در زمان سیر موج τ نهفته است بلکه در متغیرهای Z_c, R, Z_{rc} و Z_{rc} نیز بطور صریح وجود دارد. برای محاسبه محل خط ابتدا معادله فوق گسته سازی شده و سپس با حل مسئله بهینه سازی زیر محل خط تعیین می‌گردد.

$$\text{Min } obj(m) = \text{Min} \sum_k F^2(V_s, i_s, V_r, i_r, k, m) \quad (9)$$

$$m \Delta t = \tau \quad k \Delta t = t$$

$$\begin{array}{ll} \text{زمان نمونه برداری} & : \Delta t \\ \text{اعداد صحیح دلخواه} & : m, k \end{array}$$

(۲-۳) خطاهای نامتقارن (۱) تبدیل مودال

با تعریف مناسب تابع F برای اتصال کوتاههای نامتقارن و حل مسئله بهینه سازی بدست آمده محل خط را می‌توان بدست آورد. در خطاهای نامتقارن معادلات وابسته در حوزه فاز به کمک تبدیل مودال به معادلات مستقل در حوزه مودال تبدیل می‌شوند [۸]. برای هر مود، معادلات مربوط به فاصله یابی خط را نوشت و تابع F را متناسب با نوع اتصال کوتاه تعريف می‌کنیم.

برای خطوط جابجاشده تبدیل زیر که به تبدیل کلارک معروف است [۸] جهت تغییر حوزه از زمان به مودال و بدست آوردن معادلات مستقل استفاده می‌شود:

$$\begin{aligned} I_{ps}(t-\tau) = & \frac{R'/4}{Z_c^2} [V_x(t-\tau) + Z_c i_x(t-\tau)] \\ & - \frac{Z_c}{Z_c^2} [V_s(t-\tau) + Z_c i_s(t-\tau)] \quad (4) \end{aligned}$$

در این معادلات داریم:

$$\begin{aligned} \text{زمان سیر موج از } S & \text{ به } : \tau \\ \text{امپدانس مشخصه خط} & : Z_c \\ \text{ مقاومت خط از } S \text{ تا } R & : R' \\ Z_c' = Z_c + \frac{R'}{4} \\ Z_c'' = Z_c - \frac{R'}{4} \end{aligned}$$

(۳) مرور فاصله‌یابی خط‌ها در خطوط انتقال با دو پایانه [۷]

۱-۳ خطاهای سه فاز متقاضی
با حذف i_x از معادلات (۱) تا (۴) رابطه زیر بدست می‌آید.

$$\begin{aligned} V_x(t) = & \left(Z_c^2 [V_s(t+\tau) - Z_c i_s(t+\tau)] \right. \\ & + Z_c'^2 [V_s(t-\tau) + Z_c i_s(t-\tau)] \\ & \left. - \frac{Z_c' R'}{4} \left[\frac{R'/2}{Z_c'} V_s(t) + 2Z_c'' i_s(t) \right] \right) / 2Z_c^2 \quad (5) \end{aligned}$$

به روش مشابه ولتاژ نقطه خطابر حسب تابعی از ولتاژ و جریان طرف R بدست می‌آید.

$$\begin{aligned} V_x(t) = & \left(Z_{rc}^2 [V_r(t+T-\tau) - Z_{rc} i_r(t+T-\tau)] + \right. \\ & Z_{rc}''^2 [V_r(t-T+\tau) + Z_{rc} i_r(t-T+\tau)] \\ & \left. - \frac{Z_{rc}' R'}{4} \left[\frac{R'/2}{Z_{rc}'} V_r(t) + 2Z_{rc}'' i_r(t) \right] \right) / 2Z_c^2 \quad (6) \end{aligned}$$

پارامترها در معادلات فوق به صورت زیر تعریف می‌شوند: F به زمان انتشار موج از T تا R مقاومت خط از R'

$$Z_{rc}' = Z_c + R'/4$$

$$Z_{rc}'' = Z_c - R'/4$$

به دلیل پیوستگی ولتاژ در طول خط انتقال با ترکیب معادلات (۵) و (۶) رابطه زیر به دست می‌آید:

در معادلات بالا داریم:
 $m = 0, 1, 2$
 در بخش بعد معادلات لازم برای اتصال کوتاه نامتناهن به
 تفکیک آورده شده است.

$$[M]^{-1} = \frac{1}{3} \begin{bmatrix} 1 & 1 & 1 \\ 1 & -1 & 0 \\ 1 & 0 & -1 \end{bmatrix}, [M] = \begin{bmatrix} 1 & 1 & 1 \\ 1 & -2 & 1 \\ 1 & 1 & -2 \end{bmatrix} \quad (10)$$

$$VI_{012}(t) = [M]^{-1} VI_{abc} \quad (11)$$

در معادله (11) VI_{012} و VI_{abc} توسط معادلات زیر
 تعریف میشوند:

$$VI_{abc} = [VI_a \quad VI_b \quad VI_c]^T$$

$$VI_{012} = [VI_0 \quad VI_1 \quad VI_2]^T$$

که VI میتواند بردار ولتاژ یا جریان باشد و T عملگر
 ترانسپوز میباشد. به کمک معادلات (10) و (11) می توان
 روابط زیر را نوشت:

$$VI_0(t) = (VI_a(t) + VI_b(t) + VI_c(t))/3$$

$$VI_1(t) = (VI_a(t) - VI_b(t))/3 \quad (11)$$

$$VI_2(t) = (VI_a(t) - VI_c(t))/3$$

همچنین میتوان نوشت:

$$VI_a(t) = (VI_0(t) + VI_1(t) + VI_2(t))$$

$$VI_b(t) = (VI_0(t) - 2VI_1(t) + VI_2(t)) \quad (12)$$

$$VI_c(t) = (VI_0(t) + VI_1(t) - 2VI_2(t))$$

هر معادله مستقل در حوزه مودال از هر نظر مشابه معادله
 خط انتقال تکفار میباشد [۶]. بنابراین میتوان معادلات

(5) و (6) را در حوزه مودال به صورت زیر تعریف کرد:

$$\begin{aligned} V_{xs}^{(m)}(t) = & \left(Z_{cm} [V_s^{(m)}(t + \tau_m) - Z_{cm} i_s^{(m)}(t_S^{(m)} + \tau_m)] \right. \\ & + Z_{cm}'' [V_s^{(m)}(t - \tau_m) + Z_{cm} i_s^{(m)}(t - \tau_m)] - \\ & \left. - \frac{Z_{cm} R_m}{4} \left[\frac{R_m/2}{Z_{cm}} V_s^{(m)}(t) + 2 Z_{cm} i_s^{(m)}(t) \right] \right) / 2 Z_{cm}^2 \quad (13) \end{aligned}$$

همچنین به طریق مشابه داریم:

$$\begin{aligned} V_{xr}^{(m)}(t) = & \left(Z_{rm}^2 [V_r^{(m)}(t + T_m) - \tau_m] - \right. \\ & - Z_{rm} i_r^{(m)}(t + T_m - \tau_m)] + \\ & + Z_{rm}'' [V_r^{(m)}(t - T_m + \tau_m) + \\ & + Z_{rm} i_r^{(m)}(t - T_m + \tau_m)] \\ & - \frac{Z_{rm} R_m}{4} \left[\frac{R_m/2}{Z_{rm}} V_r^{(m)}(t) + \right. \\ & \left. + 2 Z_{rm} i_r^{(m)}(t) \right] \right) / 2 Z_{rm}^2 \quad (14) \end{aligned}$$

۲-۲-۳) اتصال کوتاه تکفار به زمین:

در اتصال کوتاه تکفار به زمین جهت محاسبه فاصله تا

محل خط روابط زیر را داریم:

$$V_{xs}^{(a)} = V_{xs}^{(0)} + V_{xs}^{(1)} + V_{xs}^{(2)} \quad (16)$$

$$V_{sr}^{(a)} = V_{sr}^{(0)} + V_{sr}^{(1)} + V_{sr}^{(2)} \quad (17)$$

با ترکیب معادلات فوق به روابط زیر میرسیم:

$$V_{xs}^{(a)} = V_{sr}^{(a)} \quad (18)$$

$$F = V_{xs}^{(0)} + V_{xs}^{(1)} + V_{xs}^{(2)} - (V_{sr}^{(0)} + V_{sr}^{(1)} + V_{sr}^{(2)}) = 0 \quad (19)$$

$$F(V_s^{(0)}, V_s^{(1)}, V_s^{(2)}, V_r^{(0)}, V_r^{(1)}, V_r^{(2)}, t, \tau_0, \tau) = 0 \quad (20)$$

با گسته سازی معادله (20) و به کمک حل مسئله بهینه
 سازی پیشنهادی مکان خط را بدست می آید.

۳-۲-۳) اتصال کوتاه دو فاز:

با استفاده از معادلات خط انتقال در حوزه مودال برای
 اتصال کوتاه دو فاز معادله نهائی برای حل مسئله فاصله یابی
 خط را به صورت زیر بدست می آید:

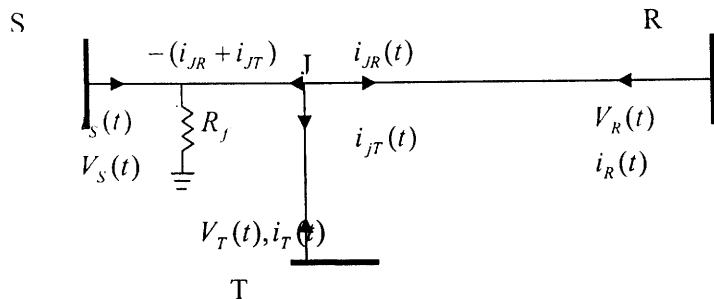
$$F = V_{xs}^{(1)} - V_{xs}^{(2)} - (V_{sr}^{(1)} - V_{sr}^{(2)}) = 0 \quad (21)$$

$$F(V_s^{(1)}, V_s^{(2)}, V_r^{(1)}, V_r^{(2)}, t, \tau) = 0 \quad (22)$$

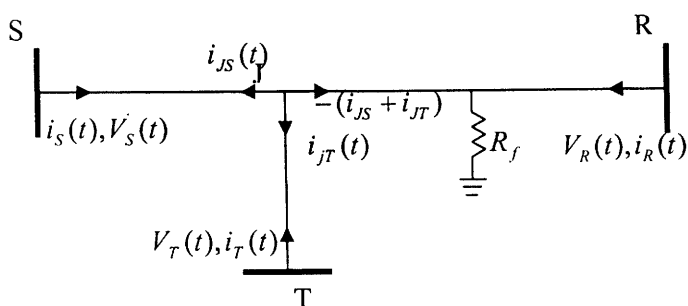
با گسته سازی رابطه (22) و حل آن به کمک روش بهینه
 سازی فاصله تا محل خط را بدست می آید.

۴) بکارگیری روش فاصله یابی خط در شبکه های انتقال با سه پایانه (با انشعاب میانی)

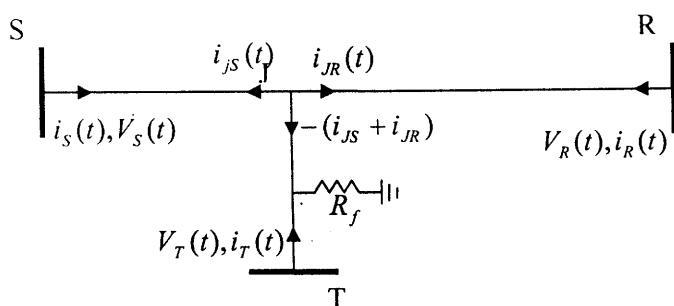
جهت اعمال الگوریتم به خطوط با سه پایانه شکل (۳) را
 در نظر میگیریم. شرایط مختلف خط در شکل های ۳-الف، ۳-ب و ۳-ج
 نشان داده شده است.



شکل (۳-الف) خطا در بخش (S-J)



شکل (۳-ب) خطا در بخش (R-J)



شکل (۳-ج) خطا در بخش (T-J)

شکل (۳) : مکانهای مختلف خطا

زمان بدون توجه به وقوع خطا بحسب میاوردیه
($V_J^{(S)}, V_J^{(R)}, V_J^{(T)}$) سپس توابع معیار زیر را تعریف
میکنیم:

$$X_1 = \int |V_J^{(S)}(t) - V_J^{(R)}(t)| dt \quad (23)$$

$$X_2 = \int |V_J^{(S)}(t) - V_J^{(T)}(t)| dt \quad (24)$$

$$X_3 = \int |V_J^{(R)}(t) - V_J^{(T)}(t)| dt \quad (25)$$

فاصله‌یابی خطا در خطوط انتقال باسه پایانه به دو بخش به شرح زیر تقسیم بندی می‌شود:

۱- تعیین بخش خطا دار

۲- تعیین فاصله تا محل خطا

برای تعیین بخش خطا دار ابتدا ولتاژ نقطه انشعاب (J) را به کمک مدل گستردۀ خطوط S-J و R-J در حوزه T-J در

$$Z_{cJS} = Z_c + \frac{R_{JS}}{4}$$

$$Z_{cJ} = Z_c - \frac{R_{JS}}{4}$$

جهت محاسبه جریان (i_{JR}) جریانهای ($i_R(t)$ و $i_T(t)$) را با استفاده از مدل گسترده حوزه زمان خطوط سالم T-J و S-J توسط روابط زیر محاسبه مینماییم:

$$\begin{aligned} i_{JS}(t) &= (Z_{cJS}[V_S(t+T_2) - Z_{cJS}i_S(t+T_2)] - \\ &Z_{cJS}[V_S(t-T_2) + Z_{cJS}i_S(t-T_2)]) / 2Z_c^2 \quad (27) \end{aligned}$$

$$\begin{aligned} i_{JT}(t) &= (Z_{cJT}[V_T(t+T_3) - Z_{cJT}i_T(t+T_3)] - \\ &Z_{cJT}[V_T(t-T_3) + Z_{cJT}i_T(t-T_3)]) / 2Z_c^2 \quad (28) \end{aligned}$$

زمان سیر موج از J به T : T_3
 مقاومت بخش T-J : R_{JT}

$$\begin{aligned} Z_{cJT} &= Z_c + \frac{R_{JT}}{4} \\ Z_{cIT} &= Z_c - \frac{R_{JT}}{4} \end{aligned}$$

بازوچه به مراحل طی شده در بالا شبکه با سه پایانه شکل (۳) به شبکه با دو پایانه شکل (۴) تبدیل میشود:

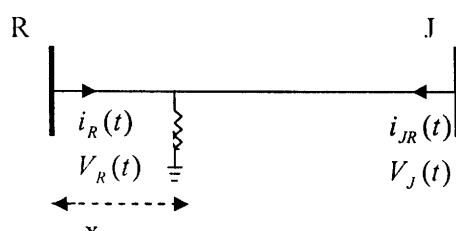
بین متغیرهای فوق متغیری که حداقل مقدار را دارد تعیین و پایانه ای که در تابع معیار مربوط به آن وجود ندارد را به عنوان بخش خط دار در نظر میگیریم. فرض کنید X حداقل مقدار را دارا باشد در اینصورت خط دار بخش J-R خ داده است.

این روش در شرایط مختلف بررسی ونتایج رضای بخشی در تعیین بخش خط دار داشته است.

برای تعیین فاصله تا محل خط پس از تعیین بخش خط دار با تبدیل شبکه با سه پایانه به شبکه با دو پایانه عملیات فاصله بابی را ادامه میدهیم. برای توضیح بیشتر فرض کنید که خط در بخش J-R اتفاق افتاده باشد. ابتدا ولتاژ نقطه J را با استفاده از مدل گسترده خط انتقال J-S یا J-T محاسبه میکنیم. به عنوان نمونه در صورتی که بخواهیم ولتاژ نقطه انشعاب را به کمک اطلاعات بخش S-J محاسبه کنیم رابطه زیر را خواهیم داشت:

$$\begin{aligned} V_{JS}(t) &= (Z_{cJS}[V_S(t+T_2) - Z_{cJS}i_S(t+T_2)] + \\ &Z_{cJS}[V_S(t-T_2) + Z_{cJS}i_S(t-T_2)] - \\ &\frac{R_{JS}/2}{Z_{cJS}}[2V_S(t) + 2Z_{cJS}i_S(t)]) / 2Z_c^2 \quad (26) \end{aligned}$$

پارامترها بصورت زیر تعریف میشوند:
 زمان سیر موج از S به J : T_2
 مقاومت بخش S-J : R_{JS}

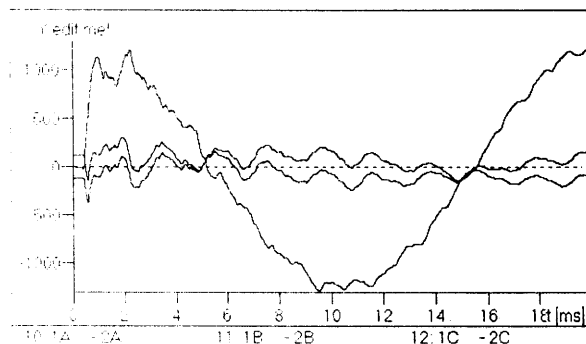


شکل (۴) : شبکه دوپایانه معادل با شبکه با سه پایانه

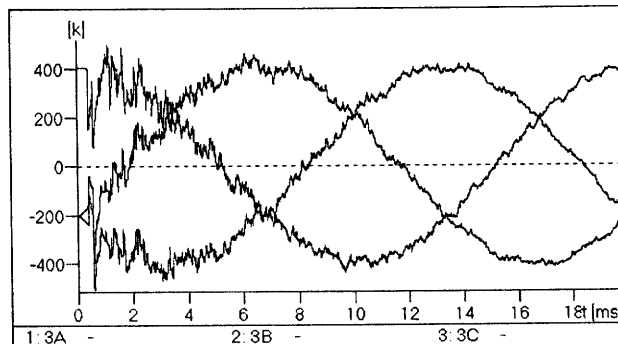
(۵) ارزیابی روش پیشنهادی

در این بخش برای اطمینان از صحت و دقت روش پیشنهادی، شبیه سازیهای انجام شده بر روی سیستم قادر است ساده‌ای که در قسمت ضمیمه معترضی شده از آن شده است. خطای تکفارز به زمین (SLG) در نقطه دلخواهی از فاز (a) در بخش (S-J) از سیستم در فاصله $X = 100\text{ km}$ از پایانه S رخ داده است. ولتاژها و جریانهای پایانه های S و R و T به ترتیب در شکل‌های (۵) و (۶) و (۷) نشان داده شده است. زاویه شروع خطأ نوب درجه و مقاومت خطأ ۱۰۰ اهم فرض شده است.

که در آن $i_{JS}(t) = -(i_{JS}(t) + i_{JT}(t))$ است و $i_{JR}(t) = -(i_{JS}(t) + i_{JT}(t))$ از روابط (۲۷) و (۲۸) تعیین می‌شوند. در این مرحله با استفاده از الگوریتم فاصله‌یابی خطأ جهت خطوط با دو پایانه (روابط (۷) و (۸)) محل خطأ مشخص می‌شود. روش مشابهی را می‌توان برای وقوع خطأ در بخش‌های J-S و J-T-Bکار بردا.

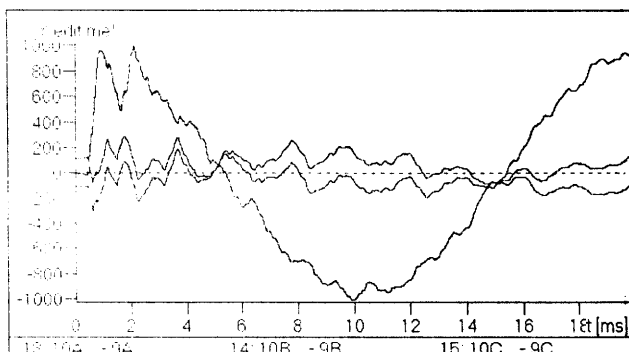


۵-ب- جریانهای فازها

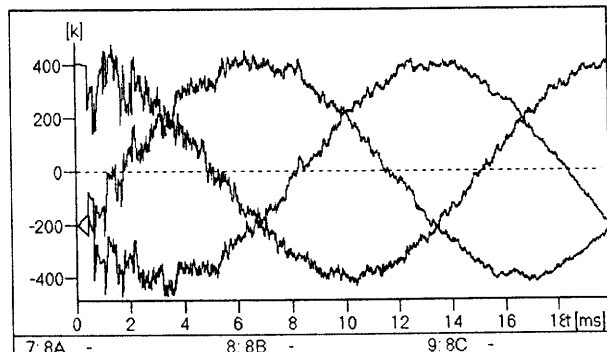


۵-الف- ولتاژ های فازها

شکل ۵۰ ولتاژ و جریان پایانه S

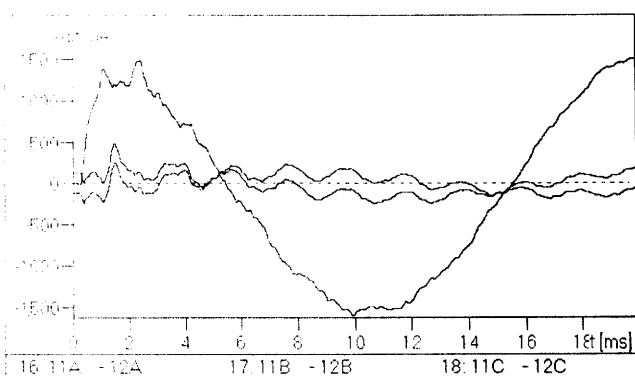


۶-ب- جریانهای فازها

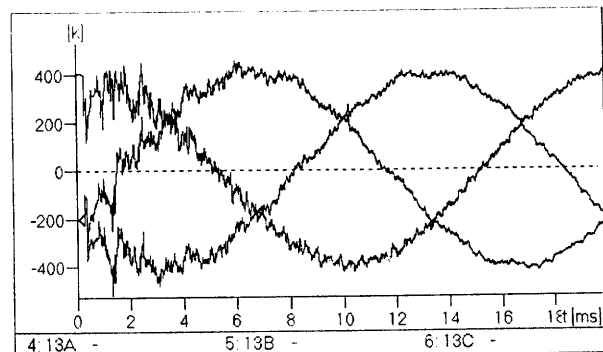


۶-الف- ولتاژ های فازها

شکل ۶۰ ولتاژ و جریان پایانه R

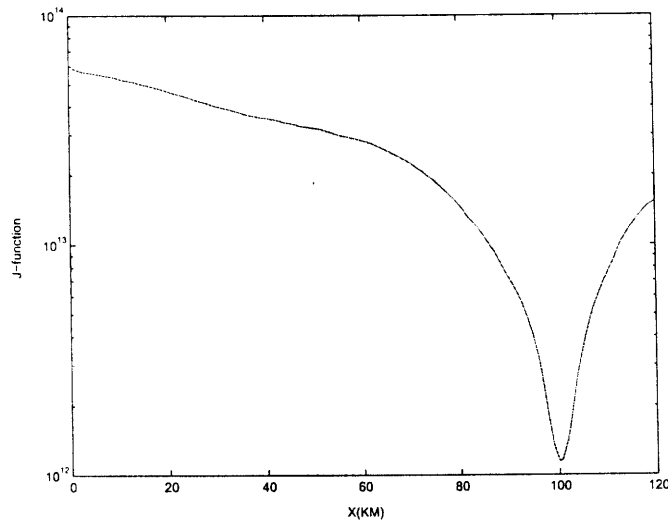


۷-ب- جریان های فازها



۷-الف- ولتاژ های فازها

شکل ۰۷ ولتاژ و جریان پایانه T



شکل ۸-تابع معیار obj

است. جهت برآورده دقت، محاسبه فاصله تا محل خطأ توسط روش پیشنهادی برای خطأ در بخش‌های مختلف و شرایط متفاوت آزمایش شده است، که بخشی از نتایج در جداول (۱) و (۲) آمده است. شبیه سازی‌های مختلف خطای الگوریتم را کمتر از ۵٪ درصد نشان میدهد.

همچنان که دربخش قبل بیان شد، پس از تعیین بخش خطادر و محاسبه ولتاژها و جریانهای مورد نیاز الگوریتم، مسئله بهینه سازی حل گردیده است. تابع معیار obj که در معادله (۱۵) تعریف شد در شکل (۸)رسم شده است. با محاسبه معیارهای تعیین بخش خطأ، بخش خطادر بدستی تشخیص و فاصله تا محل خطأ ۹۹/۷۱ کیلومتر برآورده شده

ارزیابی روش به ازای $R_f = 50$

فاصله تا محل خط(x)	زاویه شروع خط	برآورده فاصله	درصد خط
۵۰	۹۰	۴۹/۸۵	/۰۷۰
۱۱۰	۹۰	۱۱۰/۷۹	/۳۸
۵۰	۰	۴۹/۸۵	/۰۷
۱۱۰	۰	۱۱۰/۷۹	/۳۸

ارزیابی روش به ازای $R_f = 50$

فاصله تا محل خط(x)	زاویه شروع خط	برآورده فاصله	درصد خط
۵۰	۹۰	۴۹/۸۵	/۰۷۰
۱۱۰	۹۰	۱۱۰/۷۹	/۳۸
۵۰	۰	۴۹/۸۵	/۰۷
۱۱۰	۰	۱۱۰/۷۹	/۳۸

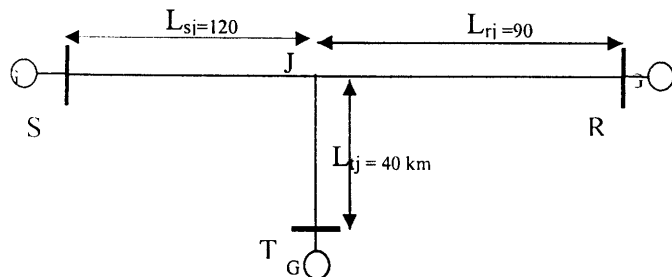
انجام شده است. امپدانس منابع و جریان بار و مقاومت خط تاثیری بر دقت الگوریتم ندارد. از مزایای این روش نیاز به داده های زمانی کم (کمتر از نیم سیکل) میباشد. روش ارائه شده جهت تشخیص بخش خط‌دار در تمامی شرایط بخش خط را به درستی تعیین مینماید. همچنین حداقل خط را کمتر از ۵٪ درصد محاسبه شده است.

نتیجه گیری:

در این مقاله الگوریتم فاصله‌یابی خط برای خطوط انتقال با سه پایانه با استفاده از مدل گسترده در حوزه زمان پیشنهاد شده است. مبنای این روش در تبدیل شبکه با سه پایانه به شبکه با دو پایانه پس از تشخیص بخش خط‌دار و سپس حل مسئله فاصله‌یابی خط میباشد. با توجه به اینکه از مدل کامل خط انتقال استفاده شده فاصله‌یابی خط بادقت بسیار خوبی

ضمیمه:

سیستم نمونه مورد مطالعه:



داده های خط انتقال :

$$\begin{aligned} &= 0.0275 \Omega/km & R^0 &= 0.275 \Omega/km \\ &= 1.00268 mH/km & L^0 &= 3.26798 mH/km \\ &+ = 0.013 \mu F/km & C^0 &= 0.0085 \mu F/km \end{aligned}$$

داده های منابع:

$$\begin{aligned} R^+ &= 1.31 \Omega & R^0 &= 2.33 \Omega \\ L^+ &= 47.75 mH & L^0 &= 84.67 mH/km \end{aligned}$$

System Control, Operation and Management, Nov. 1991, Hong Kong.

- [5] A.T. Johns and S. Jamali, "Accurate Fault Location Technique for Power Transmission Lines", IEE Proc. Vol. 137, Pt. C, No. 6, pp. 395-402. Nov. 1990.
- [6] H.Dommel, "Digital Computer Solution of Electromagnetic Transient in Single and Multi Phase Networks", IEEE Trans. on Power Apparatus and Systems, Vol. PAS-88 . No.4, PP.388-399, Apr. 1969.
- [7] J.Sadeh, A.M. Ranjbar, N. Hadjsaid and R. Feuillet, "Accurate Fault Location Algorithm for Series Compensated Lines", IEEE Trans. on Power Delivery, Vol. 15, No. 3, PP.1027-1033, July. 2000.
- [8] A.O. Ibe , "Travelling Wave-Based Fault Location Algorithm for Power System ", P.h.D. Thesis, Imperial College of Science and technology,London,1984.
- [9] A.O. Ibe and B.J. Cory, "Fault- Location Algorithm for Multiphase Power Lines," IEE Proc. Vol. 134, Pt. C, No.1, pp, 43-50. June. 1987.

مراجع

- [1] A.A. Girgis, D.G. Hart and W.L. Peterson, "A New Fault Location Technique for Two and Three Terminal Lines", IEEE Trans. On Power Delivery, Vol. 7, No. 1,pp. 98-107 , Jan. 1992.
- [2] T. Nagasawa , M. Abe, N. Otsuzuki, T. Emura. Y. Jikihara and M. Takeuchi, Development of a New Fault Locator Algorithm for Multi – Terminal Two Parallel Transmission Lines", IEEE Trans. On Power Delivery. Vol. 7, No. 3,pp.1516-1537, July.1992.
- [3] Ying-Hong Lin and Chih-Wen Liu, "A New Fault Locator for Three-Terminal Transmission Lines Using Two-Terminal Synchronized Voltage and Current Phasors", IEEE Trans. On Power Delivery, Vol. 17. No. 2. pp.452-459,April. 2002.
- [4] A Kalam and A.T. Johns, "Accurate Fault Location Technique For Multi- Terminal EHV Lines", IEE International Conference On Advances in Power